

УДК 544.463

Фотокаталитические свойства диоксида олова, допированного соединениями хрома(III), серебра и цинка, в реакциях окисления органических субстратов при действии видимого света

С. В. Халамейда¹, М. Н. Самсоненко¹, В. В. Сидорчук¹,
В. Л. Старчевский², О. И. Закутевский¹, О. Ю. Хижун³

¹ Институт сорбции и проблем эндоэкологии НАН Украины
ул. Наумова, 13, Киев 03164, Украина. E-mail: svkhal@ukr.net

² Институт химии и химических технологий, Национальный университет «Львовская политехника»
ул. С. Бандери, 12, Львов 79013, Украина

³ Институт проблем материаловедения им. И. Н. Францевича НАН Украины
ул. Кржижановского, 3, Киев 03680, Украина

Показано, что предварительная сонокимическая активация влажных гелей оксида олова в присутствии добавок оксида хрома(III), нитрата серебра и ацетата цинка с последующей их термообработкой приводит к изменению параметров пористой и кристаллической структуры полученных образцов SnO_2 , допированного соединениями этих металлов. Допированные образцы по сравнению с недопированным SnO_2 характеризуются меньшей шириной запрещенной зоны и более интенсивным поглощением в видимом спектральном диапазоне. Среди исследованных материалов Ag/SnO_2 проявляет самую высокую фотокаталитическую активность в реакции окисления родамина Б, сафранина Т, метилоранжа и фенола при действии видимого света.

Ключевые слова: диоксид олова, ультразвуковая обработка, допирование, фотокаталитическая активность, фотолюминесценция.

Диоксид олова — широкозонный полупроводник, используемый в качестве ионообменников, фотокатализаторов, материалов для газовых сенсоров, солнечных батарей с сенсибилизованными красителями [1—5]. Свойства SnO_2 , применяемого для этих нужд, зависят от его удельной поверхности, пористой и кристаллической структуры, электронных характеристик, в частности от ширины запрещенной зоны. Требуемые параметры могут быть получены путем изменения условий его синтеза и последующей обработки, а также допирования катионами и анионами. Известно, что допирование (введение в структуру добавок, т. е. дефектов) способствует улучшению сенсорных и фотокаталитических свойств оксидов, прежде всего под действием видимого света [6, 7]. Однако этот подход недостаточно изучен для диоксида олова [8—10]. Имеющиеся в литературе работы посвящены, как правило, изучению сенсорных свойств допированного SnO_2 или его фото-

каталитической активности под действием УФ-излучения. Поэтому целью настоящей работы является исследование возможности регулирования параметров пористой и кристаллической структуры при допировании SnO_2 путем ультразвуковой обработки (УЗО) его влажных гелей. Этот подход использован впервые. Его преимущества в том, что во время УЗО реализуются низкотемпературные гидротермальные условия, а обработка на стадии влажного геля позволяет регулировать физико-химические свойства в более широких пределах. Цель работы состоит также в оценке активности полученных допированных образцов в процессах фотодеградации при облучении видимым светом.

Экспериментальная часть

Исходный SnO_2 осаждали из водного раствора $\text{SnCl}_4 \cdot 5\text{H}_2\text{O}$ с помощью мочевины (гомогенное осаждение) в виде гелеобразного осадка. Значение pH в

конце осаждения составляло 8. После созревания в маточном растворе гель отмывали дистиллированной водой до отсутствия в промывной воде хлорид-ионов. Затем гель уплотняли на фильтре до влажности 80 %. Допирение выполняли путем ультразвуковой обработки (УЗО) смеси влажного геля с допирующей добавкой при частоте 22 кГц и температуре 90 °C в течение 2 ч с использованием низкочастотного ультразвукового генератора УЗД-22/44. В качестве допантов использовали нитрат серебра, оксид хрома(III) и ацетат цинка ввиду того, что соединения этих металлов широко используются как катализаторы и допанты диоксида титана [6, 7]. Эти добавки оказывают соответственно сильное, среднее и слабое влияние на активность SnO₂. Их содержание в полученной композиции составляет 5 % мас. в расчете на оксиды. Допированные гели сушили при 20 °C в течение 50 ч, а затем подвергали термообработке (ТО) на воздухе при 300 и 400 °C на протяжении 3 ч. Режимы ТО соответствуют термодекомпозиции ацетата цинка и нитрата серебра и полному удалению примесей.

Рентгенофазовый анализ (РФА) проведен с использованием дифрактометра «Philips PW 1830» (CuK_α-излучение). Кривые ДТА-ТГ записаны на приборе «Derivatograph-C» системы F. Paulik, J. Paulik, L. Erdey в интервале температур 20–1000 °C при скорости нагревания 10 °C/мин. ИК-спектры в области 4000–400 см^{−1} получены на спектрометре «Spectrum-One» («Perkin-Elmer»), спектры рентгеновской фотоэлектронной спектроскопии (РФЭС) — на спектрометре «UHV-Analysis-System» (SPECS, Германия), спектры фотолюминесценции — на спектрометре LS-55 («Perkin-Elmer»). В последнем случае длина волны возбуждения 280, 300 и 330 нм (во всех случаях получены идентичные спектры). Эти значения выбраны исходя из положения края поглощения для SnO₂, как предложено авторами [11, 12]. Электронные спектры в ультрафиолетовой и видимой области для порошков SnO₂ записаны в режиме диффузного отражения на УФ-вид спектрометре «Lambda 35» («Perkin-Elmer»). Коррекция базовой линии осуществлялась с помощью сертифицированного стандарта отражения Spectralon. Превращение спектров в координаты уравнения Кубелки — Мунка проведено с использованием программного обеспечения, поставляемого вместе со спектрометром. Край поглощения λ определялся стандартным графическим способом из этих спектров. Ширина запрещенной зоны E_g рассчитывалась по уравнению Планка. Пористую структуру исследовали на основе изотерм адсорбции-десорбции азота, полученных с использованием анализатора ASAP 2405N («Micromeritics Instrument Corp.»).

Удельную поверхность S , объем мезо- и микропор $V_{\text{ме}}$ и $V_{\text{ми}}$ рассчитывали с помощью БЭТ, ВЖ и t -методов соответственно. Общий объем пор определяли пропиткой этанолом гранул образца, высущенного при 150 °C. Размер мезопор $d_{\text{ме}}$ рассчитывали из кривых распределения объема пор по размерам, построенных на основе десорбционной ветви изотерм.

Испытание фотокatalитической активности проведено путем деградации в водных растворах нескольких субстратов: красителей родамин B (RhB), сафранин T (ST) и метилоранж (MO) с концентрацией 1·10^{−5} моль/л и фенола (5·10^{−5} моль/л). Деградацию проводили в стеклянном реакторе с использованием светодиодной лампы Cool Daylight («Philips») мощностью 100 Вт, которая излучает исключительно в видимой области и спектр которой имеет широкую полосу 500—700 нм с максимумом при 565 нм. Использовано соотношение 80 мг фотокатализатора на 80 мл раствора субстрата. Исходный раствор и аликвоты дисперсии, отобранные через определенные промежутки времени, после центрифugирования анализировали спектрофотометрически при $\lambda_{\text{макс}} = 553, 520, 465$ и 269 нм для RhB, ST, MO и фенола соответственно. Расчет констант скорости фотодеградации K_d основан на изменении концентрации растворов красителей во времени (5—600 мин) после установления адсорбционного равновесия и последующего облучения.

Результаты и обсуждение

В соответствии с результатами термогравиметрического и рентгенофазового анализа исходный ксерогель является оксигидроксидом олова SnO(OH)₂ и имеет слабокристаллическую структуру. Ультразвуковая обработка и прокаливание приводят к удалению OH-групп, в результате чего полученные образцы имеют состав, близкий к SnO₂. Это подтверждается данными ДТА-ТГ и РФЭС. Так, потеря массы в интервале температур 200—600 °C составляет 10,8 и 0,7 % мас. для исходного и прокаленного при 400 °C ксерогеля. Соотношение Sn/O на поверхности, рассчитанное из спектров РФЭС, составляет 1,98 для этого же образца. РФА показывает, что допированные и прокаленные образцы имеют более совершенную кристаллическую структуру по сравнению с исходным ксерогелем. Так, происходит 2—3-кратный рост размера кристаллитов D_{110} , рассчитанный по формуле Шеррера (таблица). В то же время методом РФА не зафиксировано наличие отдельных кристаллических фаз допирующих добавок, что свидетельствует о том, что допанты достаточно однородно распределены в структуре SnO₂, очевидно, вследствие диспергирующего действия

Параметры пористой структуры и свойства образцов ксерогеля SnO_2 после обработки и введения допирирующих добавок

Номер образца	Условия обработки	$S, \text{м}^2/\text{г}$	$V_\Sigma, \text{см}^3/\text{г}$	$V_{\text{ме}}, \text{см}^3/\text{г}$	$V_{\text{ми}}, \text{см}^3/\text{г}$	$d_{\text{ме}}, \text{нм}$	$D_{110}, \text{нм}$	$E_g, \text{эВ}$	$K_d \cdot 10^5, \text{с}^{-1}$
1	Исходный	179	0,10	0,01	0,09	3,2	2,0	4,0	1,1
2	+ УЗО 90 °C	182	0,10	0,02	0,08	3,2	2,0	3,8	2,7
3	+ УЗО 90 °C + ТО 300 °C	125	0,10	0,06	0,04	3,3	4,0	3,7	0,2
4	+ УЗО 90 °C + ТО 400 °C	83	0,11	0,11	—	3,8	5,6	3,4	—
5	+ 5 % Ag УЗО 90 °C + ТО 300 °C	112	0,15	0,05	0,07	3,3	3,3	3,0	620
6	+ 5 % Ag УЗО 90 °C + ТО 400 °C	55	0,12	0,08	0,01	4,3	5,1	2,9	46
7	+ 5 % Zn УЗО 90 °C + ТО 300 °C	160	0,25	0,08	0,05	3,5	3,1	3,2	0,4
8	+ 5 % Zn УЗО 90 °C + ТО 400 °C	90	0,23	0,12	—	3,9	3,8	3,1	—
9	+ 5 % Cr УЗО 90 °C	186	0,18	0,04	0,07	3,3	1,8	3,3	6,0
10	+ 5 % Cr УЗО 90 °C + ТО 300 °C	134	0,17	0,07	0,06	3,5	2,0	3,0	5,8
11	+ 5 % Cr УЗО 90 °C + ТО 400 °C	95	0,15	0,09	0,02	4,2	3,0	2,8	4,4

Примечание. S — удельная поверхность; V_Σ — общий объем пор; $V_{\text{ме}}$ — объем мезопор; $V_{\text{ми}}$ — объем микропор; $d_{\text{ме}}$ — размер мезопор; D_{110} — размер кристаллитов, определенный для плоскости (110); $K_d \cdot 10^5$ — константа скорости фотодеградации родамина Б.

УЗО на структуру дopedированного геля. Напротив, положение дифракционных пиков SnO_2 практически не изменяется, что свидетельствует о том, что металлы-допанты не входят в его кристаллическую решетку. ИК-спектры всех образцов содержат только полосы поглощения, характерные для SnO_2 : 660, 612 и 575 см^{-1} , относящиеся к колебаниям Sn–O, а также 1240 и 892 см^{-1} . Последние полосы поглощения приписываются деформационным колебаниям различных типов OH-групп [3, 8]. Их интенсивность прогнозируется снижается после ТО.

Известно, что осажденный диоксид олова является преимущественно микропористым [3, 8, 12], что ограничивает его применение в процессах фотодеградации красителей из-за недоступности внутренней поверхности для их молекул. Параметры пористой структуры полученных нами образцов приведены в таблице. УЗО геля SnO_2 приводит к частичной трансформации микропор в мезопоры, а последующая ТО — к снижению удельной поверхности S и объема микропор. Также видно, что дopedирование и ТО способствуют уменьшению S . Напротив, наблюдается существенное увеличение общего объема пор V_Σ . При этом доля микропор в общем объеме пор заметно сокращается. Кроме того, дopedированные образцы содержат макропоры, объем которых, рассчитанный как $V_\Sigma - (V_{\text{ме}} + V_{\text{ми}})$, составляет 0,04—0,12 $\text{см}^3/\text{г}$. Таким образом, дopedированные образцы являются микро-мезо-макропо-

ристыми. Предположительно, дополнительные мезопоры и макропоры образуются двумя путями: добавки донаторов, введенные при УЗО геля, уменьшают сжатие каркаса геля при сушке (см., например, образец 9); вследствие удаления OH-групп и формирования более плотной фазы диоксида олова, происходящего при ТО, генерируется дополнительная пористость (образцы 5—8). Диаметр мезопор также возрастает после дopedирования и прокаливания. В целом пористость становится более открытой и доступной для молекул красителей.

Заметный батохромный сдвиг края поглощения $\Delta\lambda$ происходит в результате ТО исходного ксерогеля. Очевидно, это связано с превращением SnO(OH)_2 в SnO_2 , что согласуется с приведенными выше данными ДТА-ТГ и РФЭС. Еще большее значение $\Delta\lambda$ и соответствующее уменьшение ширины запрещенной зоны E_g (которое зависит от температуры ТО) зафиксировано для дopedированных образцов (таблица). Так, для образцов, дopedированных серебром, происходит сужение запрещенной зоны с 3,4 эВ для исходного прокаленного при 300 °C SnO_2 до 3,0 и 2,9 эВ для дopedированных, прокаленных при 300 и 400 °C образцов соответственно. Электронные спектры, зарегистрированные для указанных образцов, представлены на рис. 1. Похожие результаты получены при дopedировании хромом (таблица, образцы 9—11). Добавка цинка дает наименьший эффект

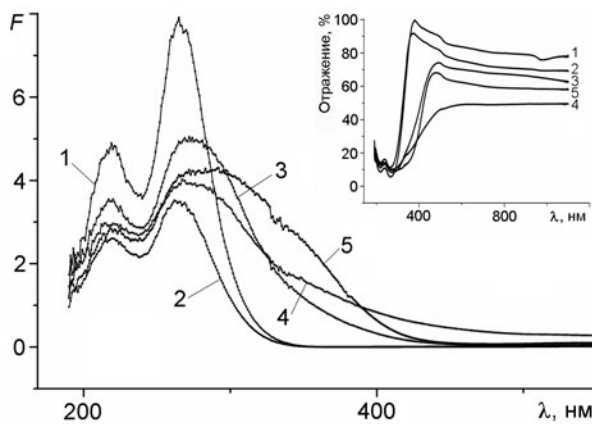


Рис. 1. Электронные спектры в УФ- и видимой области для образцов SnO_2 , построенные в координатах уравнения Кубелки — Мунка (F) и отражение — длина волн (вставка): 1 — исходный; 2 — после УЗО при $90\text{ }^{\circ}\text{C}$; 3 — после УЗО при $90\text{ }^{\circ}\text{C}$ и ТО при $400\text{ }^{\circ}\text{C}$; 4, 5 — допированный серебром после УЗО при $90\text{ }^{\circ}\text{C}$ и ТО при 300 и $400\text{ }^{\circ}\text{C}$ соответственно.

(образцы 7, 8). Кроме того, для допированных образцов наблюдается увеличение поглощения видимого света до 40—50 % при длине волны 550 нм (рис. 1, вставка). Для исходного SnO_2 эта величина составляет 15—30 %, что может быть связано с наличием дефектов структуры и примесей, не отмытых на стадии синтеза.

Хорошо известно, что фотокаталитические свойства полупроводников, кроме их электронных характеристик, зависят от пористой структуры, удельной поверхности и степени ее гидроксилирования, а следовательно, от их адсорбционной способности по отношению к субстрату [6, 7]. При облучении видимым светом инициирование реакции возможно двумя путями: генерирование пар электрон — дырка на поверхности полупроводника, если энергия квантов меньше E_g , или возбуждение адсорбированной молекулы субстрата с последующим инжектированием электрона с возбужденной молекулой субстрата в зону проводимости полупроводника (фотосенсибилизация) [7, 13]. Использованная нами лампа излучает в области >400 нм, что соответствует энергии $<3,1$ эВ. Более детально изучен родамин Б, который не разрушается без фотокатализатора (не подвергается фотолизу), хотя максимум поглощения для него (553 нм) практически совпадает с максимумом в спектре излучения лампы (565 нм). Следует отметить, что есть только одна работа, посвященная использованию SnO_2 для деградации RhB видимым светом [14]. Известно также, что в присутствии оксидов, в том числе SnO_2 , его деградация может протекать двумя путями [3, 4]: постадийное деэтилирование от RhB до полностью

деэтилированного Rh110 с образованием трех интермедиатов или непосредственное расщепление хромофорных колец в молекуле красителя. В первом случае наблюдается постепенное смещение $\lambda_{\text{макс}}$ от 553 до 498—500 нм в спектре (голубой сдвиг), а во втором — уменьшение оптической плотности этой полосы без ее смещения.

Полученный нами осажденный образец SnO_2 , подвергнутый УЗО в виде геля, ускоряет деэтилирование по сравнению с исходным SnO_2 : процесс завершается за 1 и 3 ч [14] соответственно. Максимальное голубое смещение характеристической полосы RhB (до 500 нм) наблюдается в обоих случаях. Таким образом, время облучения 3 ч (или 1 ч) может быть использовано в качестве нулевой точки для процесса деградации полученного Rh110, как это предложено авторами [15]. Константа скорости разрушения Rh110 K_d равняется $1,1 \cdot 10^{-5}$ и $2,7 \cdot 10^{-5} \text{ с}^{-1}$ для исходного и подвергнутого УЗО SnO_2 соответственно. Повышение скорости деэтилирования RhB и деградации Rh110 может быть следствием превращения части микропор в мезопоры, наблюдавшегося для SnO_2 после его УЗО (таблица), и соответствующего увеличения доступности пор для молекул красителя (при неизменной удельной поверхности) и его адсорбции на поверхности. Действительно, величина адсорбции RhB на темновой стадии составляет 13 % для исходного SnO_2 и 23 % для подвергнутого УЗО.

TO образца, подвергнутого УЗО, наоборот, приводит к замедлению деэтилирования и особенно деградации. Так, деэтилирование завершается только в течение 10 ч при использовании образца, прокаленного при $400\text{ }^{\circ}\text{C}$, что может быть следствием снижения адсорбции RhB за счет резкого уменьшения удельной поверхности (таблица) и удаления поверхностных OH-групп (данные ДТА-ТГ и ИК-спектроскопии), а также примесей азота и углерода. Последнее подтверждается анализом спектров РФЭС. Так, пики, соответствующие энергиям связи 285,3 и 399,8 эВ, относящиеся к C1s- и N1s-электронам, присутствуют в спектре исходного SnO_2 . Содержание N и C, рассчитанное из этого спектра, равно 0,70 и 0,36 % и может относиться к неотмытой мочевине. Наблюдаемые пики практически исчезают после TO SnO_2 при 300 — $400\text{ }^{\circ}\text{C}$. Следует отметить, что добавки азота и углерода способствуют повышению фотокаталитической активности SnO_2 при деградации красителей при УФ-облучении [9]. Поскольку ширина запрещенной зоны для всех недопированных образцов SnO_2 $>3,1$ эВ, процесс деградации RhB (его деэтилирование и дальнейшее разрушение Rh110), очевидно, осуществляется исключительно путем возбуждения

адсорбированной молекулы RhB, что характерно для этого красителя [13]. Действительно, недопиорованные образцы SnO_2 не проявили активности при деградации MO, спектр поглощения которого практически не перекрывается спектром излучения лампы.

По степени влияния на фотоактивность использованные донанты можно расположить в ряд $\text{Zn} < \text{Cr} < \text{Ag}$. Так, образец Zn/SnO_2 , прокаленный при 300°C , проявляет активность, которая несколько выше, чем для соответствующего недопиорованного SnO_2 (таблица), однако после ТО при 400°C этот образец активный только в процессе деэтилирования. Наоборот, образец Cr/SnO_2 катализирует и деэтилирование RhB, и последующую деградацию Rh110 (рис. 2, а, кривые 1—3 и 3—5 соответственно) в случае его использования как после УЗО, так и после дополнительной ТО. Важен также факт исчезновения полосы поглощения в области 250 — 260 нм, что свидетельствует о расщеплении хромофорных колец молекулы красителя, приводящем к его полной минерализации. Полученные значения K_d составляют $(6,0$ — $4,4)\cdot10^{-5}\text{ c}^{-1}$ (таблица). Возможно, большее значение поглощения видимого света и меньшая ширина запрещенной зоны по сравнению с недопиорованным и допиорованным цинком SnO_2 — главные причины более высокой активности образца Cr/SnO_2 . Для прокаленного при 300 и 400°C Cr/SnO_2 $E_g = 3,0$ и $2,8$ эВ соответственно. Поэтому вклад в инициирование деградации RhB может вносить также процесс фотогенерирования пары электрон — дырка в диоксиде олова.

Максимальную активность продемонстрировал образец Ag/SnO_2 (таблица, рис. 2, б, кривая 1). В отличие от всех других он катализирует непосредственно деградацию RhB без его предварительного деэтилирования. Видно, что величина константы скорости деградации, полученная для этого образца, на 1—2 порядка превышает K_d для Cr/SnO_2 . Следует добавить, что образец Ag/SnO_2 , прокаленный при 300°C , проявил высокую активность также и при фотодеградации красителей ST и MO, а также фенола, который поглощает в УФ-области (рис. 2, б, кривые 2—4). Значения K_d для этих процессов составляют $9,4\cdot10^{-4}$; $7,3\cdot10^{-4}$ и $1,1\cdot10^{-4}\text{ c}^{-1}$ соответственно. Наблюдаемое по сравнению с RhB снижение величины K_d связано с уменьшением поглощения излучения субстратом, т. е. вклада механизма фотосенсибилизации в инициирование реакции фотодеградации. При использовании MO и фенола, очевидно, реализуется собственно фотокаталитическая деградация посредством формирования пар электрон — дырка на поверхности фотокатализатора. Следует также добавить, что повышение тем-

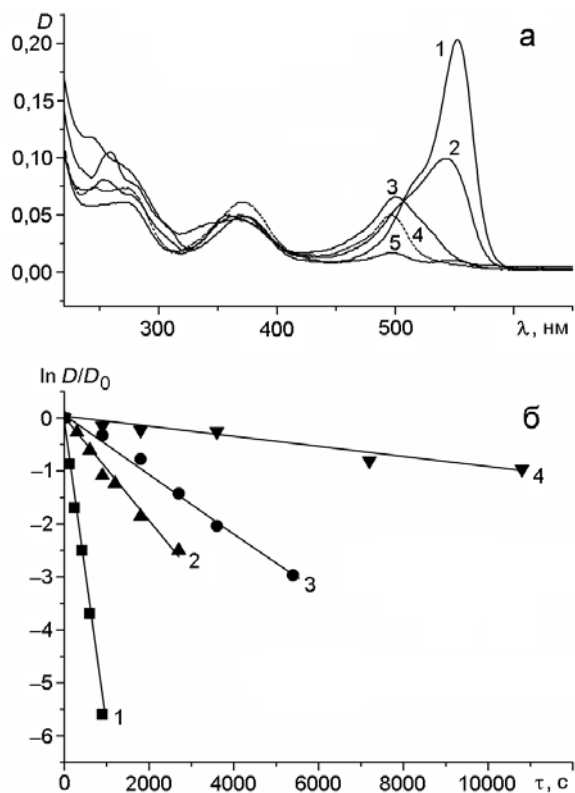


Рис. 2. а — Электронные спектры поглощения раствора родамина Б после деградации путем облучения видимым светом в присутствии образца 5 % Cr/SnO_2 после УЗО при 90°C и ТО при 300°C и последующей темновой адсорбции (1), а также после деградации в течение 60 (2), 180 (3), 360 (4) и 600 мин (5); б — кинетические кривые деградации в присутствии образца 5 % Ag/SnO_2 после УЗО при 90°C и ТО при 300°C для RhB (1), ST (2), MO (3) и фенола (4) (D_0 и D — оптическая плотность растворов красителей после установления адсорбционного равновесия и после облучения в течение времени τ).

пературы ТО Ag/SnO_2 до 400°C сопровождается уменьшением его активности (как и для Cr/SnO_2) вследствие резкого уменьшения удельной поверхности.

Как наиболее активный образец Ag/SnO_2 был исследован более детально. Так, спектры РФЭС содержат пики при энергиях связи 368,6 и 375,2 эВ, которые соответствуют $\text{Ag}3d_{5/2}$ - и $\text{Ag}3d_{3/2}$ -электронам [16—18]. Однако четко определить состояние серебра сложно, поскольку энергии связи электронов $\text{Ag}3d$ для металлического Ag, AgO и Ag_2O отличаются незначительно: 368,22; 367,4 и 367,8 эВ соответственно [17]. Возможно, при температуре выше 300°C часть Ag^{1+} восстанавливается до Ag^0 , как считают авторы [19]. Это важно, поскольку серебро в

состоянии Ag^0 является ловушкой электронов, препятствуя рекомбинации дырок и электронов [18].

Известно существование взаимосвязи между фотолюминесцентными и фотокаталитическими свойствами полупроводников [14, 20]. В частности, интенсивность фотолюминесценции оксидов тесно связана со скоростью рекомбинации пар электрон — дырка [20—22]. Спектры фотолюминесценции, полученные для исходного и дopedированных SnO_2 , содержат шесть широких полос при 423, 447, 460, 484, 520, 529 нм, что свидетельствует о наличии в структуре различных центров рекомбинации, например кислородных вакансий и других дефектов [23]. Необходимо отметить, что зафиксированные полосы описаны во многих работах (например, [23, 24]) для порошков SnO_2 , также полученных осаждением. Важно, что интенсивность полос для дopedированных образцов (особенно серебром) меньше в 3—5 раз, чем для исходного SnO_2 . Из этого следует, что эффективность разделения носителей заряда (электронов и дырок) максимальная для образца Ag/SnO_2 .

Таким образом, ультразвуковая обработка влажных гелей SnO_2 и введение дopedирующих добавок дает возможность регулировать пористую структуру, в частности увеличивать долю мезопор и формировать макропоры, т. е. получать более открытую пористость. Последнее обеспечивает большую доступность для молекул красителей к активным центрам поверхности и большую величину адсорбции субстрата. Деградация родамина Б и сафранина Т с использованием недopedированного и дopedированного цинком SnO_2 происходит посредством возбуждения молекул адсорбированного красителя. Основываясь на данных электронной и фотолюминесцентной спектроскопии, можно также предположить, что более высокая фотокаталитическая активность SnO_2 , дopedированного хромом и особенно серебром, связана также с фотогенерированием пар электрон — дырка на поверхности диоксида олова, что является следствием увеличения поглощения видимого света, а также более эффективного разделения носителей заряда и меньшей скорости их рекомбинации. Максимальной активностью обладает дopedированный серебром диоксид олова, который разрушает также сафранин Т, метилоранж и фенол, что согласуется с литературными данными для других серебросодержащих фотокатализаторов [25].

3. Zhu Z. F., Zhou J. Q., Wang X. F. et al. // Mater. Res. Innov. — 2014. — **18**, N 1. — P. 8—13.
4. Sangami G., Dharmaraj N. // Spectrochim. acta A. — 2012. — **97**. — P. 847—852.
5. Correa Baena J. P., Agrios A. G. // J. Phys. Chem. C. — 2014. — **118**. — P. 17028—17035.
6. Hoffmann M. R., Martin S. T., Choi W., Bahneman D. W. // Chem. Rev. — 1995. — **95**. — P. 69—96.
7. Крюков А. И., Стройок А. Л., Кучмий С. Я. и др. Нанофотокатализ. — К.: Академпериодика, 2013.
8. Сергеенко С. А., Кукла А. Л., Яремов П. С. и др. // Теорет. и эксперим. химия. — 2012. — **48**, № 4. — C. 245—251. — [Theor. Exp. Chem. — 2012. — **48**, N 4. — P. 265—271 (Engl. Transl.)].
9. Nouri A., Fakhri A. // Spectrochim. acta A. — 2015. — **138**. — P. 563—568.
10. Al-Hamdi A. M., Sillanpää M., Dutta J. // J. Mater. Sci. — 2014. — **49**. — P. 5151—5159.
11. Gu F., Wang S. F., Lu M. K. et al. // J. Phys. Chem. B. — 2004. — **108**. — P. 8119—8123.
12. Goswami Y. C., Kumar V., Rajaram P. et al. // J. Sol-Gel Sci. Technol. — 2014. — **69**, N 3. — P. 617—624.
13. Rochkind M., Pasternak S., Paz Y. // Molecules. — 2015. — **20**. — P. 88—110.
14. Wang G., Lu W., Li J. et al. // Small. — 2006. — **2**, N 12. — P. 1436—1439.
15. Li X., Ye J. // J. Phys. Chem. C. — 2007. — **111**. — P. 13109—13116.
16. Hoflund G. B., Hazos Z. F. // Phys. Rev. B. — 1999. — **62**, N 16. — P. 11126—11133.
17. Arabatzis I. M., Stergiopoulos T., Bernard M. C. et al. // Appl. Catal. B. — 2003. — **42**. — P. 187—201.
18. Vignesh K., Hariharan R., Rajarajan M., Suganthi A. // Solid State Sci. — 2013. — **21**. — P. 91—99.
19. Salaitaa Gh. N., Hazos Z. F., Hoflund G. B. // J. Electron Spectrosc. and Relat. Phenom. — 2000. — **107**. — P. 73—81.
20. Liqiang J., Yichuna Q., Baiqia W. et al. // Solar Energy Mater. and Solar Cells. — 2006. — **90**. — P. 1773—1787.
21. Mendes P. G., Moreira M. L., Tebcherani S. M. et al. // J. Nanopart. Res. — 2012. — **14**. — P. 750—756.
22. Wojcieszak D., Kaczmarek D., Domaradzki J., Mazur M. // Int. J. Photoenergy. — 2013. — **2013**. — P. 1—9.
23. Krishnakumar T., Jayaprakash R., Parthibavarman M. et al. // Mater. Lett. — 2009. — **63**. — P. 896—898.
24. Gontia I., Baibarac M., Baltog I. // Phys. Status Solidi B. — 2011. — **248**, N 6. — P. 1494—1498.
25. Jiang W., Wang X., Wu Z. et al. // Ind. and Eng. Chem. Res. — 2015. — **54**. — P. 832—841.

Поступила в редакцию 26 ноября 2016 г.
В окончательном варианте 26 января 2017 г.

Литература

1. Nilchi A., Dehaghan T. Sh., Garmarodi S. R. // Desalination. — 2013. — **321**. — P. 67—71.
2. Wu J., Zeng D., Tian Sh. et al. // Mater. Sci. — 2015. — **50**. — P. 7725—7734.

Фотокаталітичні властивості діоксиду олова, допованого сполуками хрому(ІІІ), срібла і цинку, в реакціях окиснення органічних субстратів під дією видимого світла

*S. V. Халамейда¹, M. M. Самсоненко¹, В. В. Сидорчук¹,
В. Л. Старчевський², О. І. Закутевський¹, О. Ю. Хижун³*

¹ Інститут сорбції та проблем ендоекології НАН України
вул. Наумова, 13, Київ 03164, Україна. E-mail: svkhal@ukr.net

² Інститут хімії та хімічних технологій, Національний університет «Львівська політехніка»
вул. С. Бандери, 12, Львів 79013, Україна

³ Інститут проблем матеріалознавства ім. І. М. Францевича НАН України
вул. Кржижанівського, 3, Київ 03680, Україна

Показано, що попередняsonoхімічна активація вологих гелів оксиду олова в присутності добавок оксиду хрому(ІІІ), нітрату срібла і ацетату цинку з подальшою їх термообробкою призводить до зміни параметрів пористої і кристалічної структури одержаних зразків SnO_2 , допованого сполуками цих металів. Доповані зразки в порівнянні з недопованим SnO_2 характеризуються меншою шириною забороненої зони і інтенсивнішим поглинанням у видимому спектральному діапазоні. Серед досліджених матеріалів Ag/SnO_2 проявляє найвищу фотокаталітичну активність у реакції окиснення родаміну Б, сафраніну Т, метилоранжу і фенолу при дії видимого світла.

Ключові слова: діоксид олова, ультразвукова обробка, допування, фотокаталітична активність, фотолюмінесценція.

Photocatalytic Properties of Tin Dioxide Doped with Chromium(III), Silver, Zinc Compounds in Oxidation of Organic Substrates under Visible Light

*S. V. Khalameida¹, M. N. Samsonenko¹, V. V. Sydorchuk¹,
V. L. Starchevskyy², O. I. Zakutevskyy¹, O. Yu. Khyzhun³*

¹ Institute for Sorption and Problems of Endoecology, National Academy of Sciences of Ukraine
Vul. Naumova, 13, Kyiv 03164, Ukraine. E-mail: svkhal@ukr.net

² Institute of Chemistry and Chemical Technologies, Lviv Polytechnik National University
Vul. S. Bandery, 12, Lviv 79013, Ukraine

³ I. M. Frantsevich Institute for Problems of Materials Science, National Academy of Science of Ukraine
Vul. Krzhyzhanivskogo, 3, Kyiv 03680, Ukraine

It was shown that sonochemical pre-activation of wet gels of tin oxide in the presence of chromium(III) oxide, silver nitrate, and zinc acetate additives with subsequent heat treatment leads to a change in the parameters of the porous and crystalline structure of obtained SnO_2 samples doped with compounds of these metals. Doped samples of SnO_2 in comparison with undoped one are characterized by a lower band gap and more intense absorption in the visible spectral range. Among the materials studied Ag/SnO_2 exhibits the highest photocatalytic activity in the oxidation of rhodamine B, safranine T, methyl orange, and phenol under visible light.

Key words: tin dioxide, ultrasonic treatment, doping, photocatalytic activity, photoluminescence.